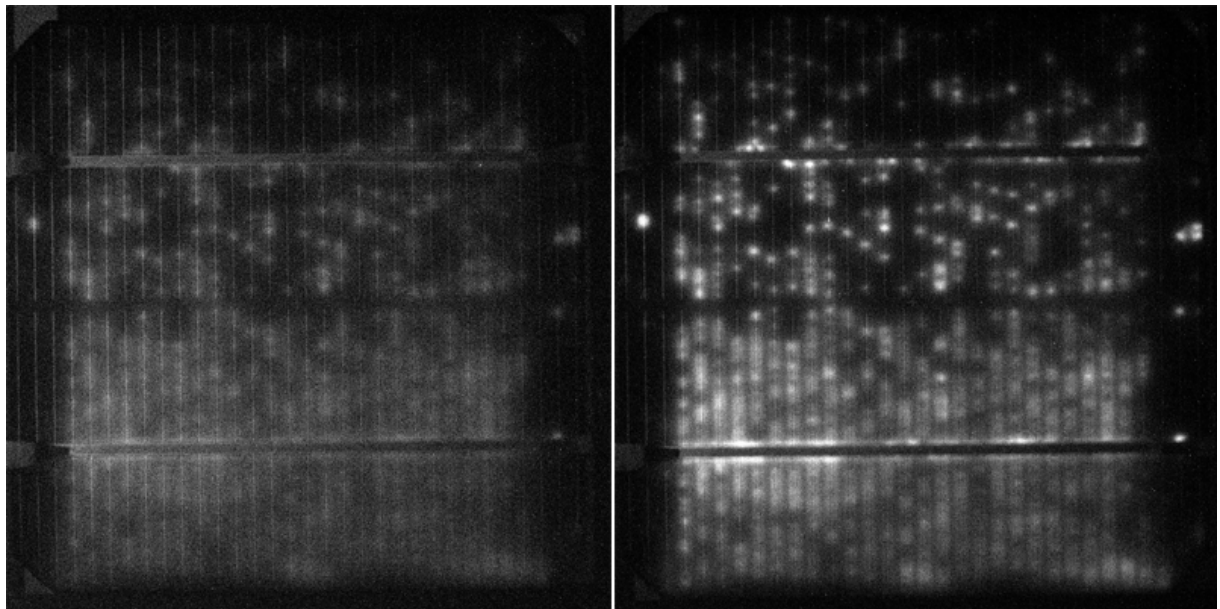
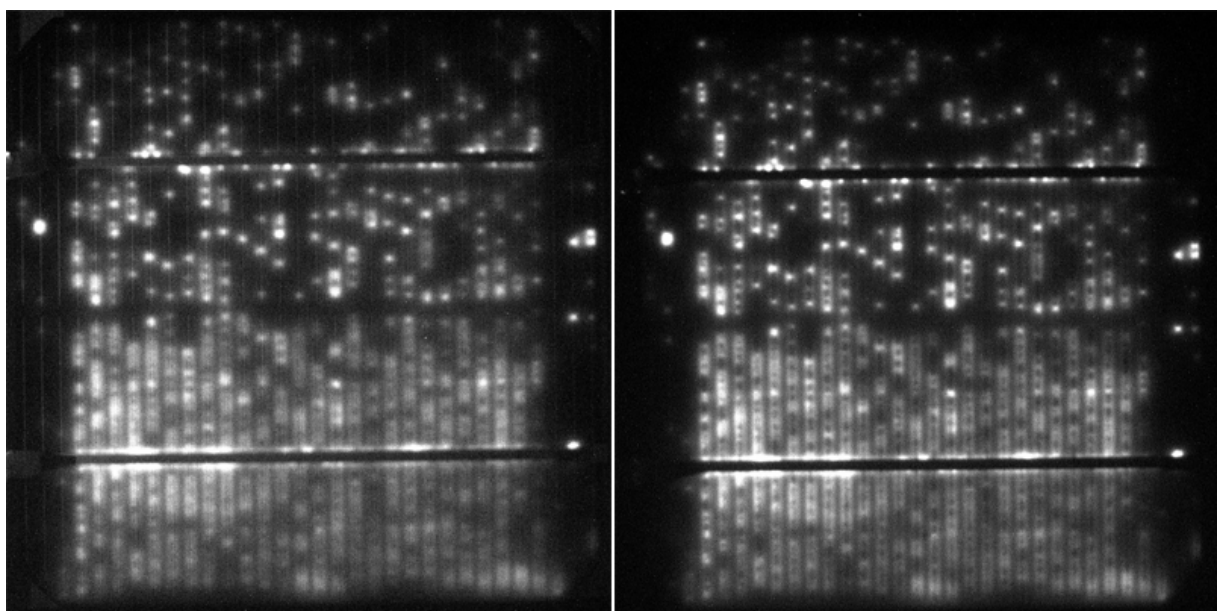


Příloha 1 - solární článek třídy 12

Metoda elektroluminiscence:

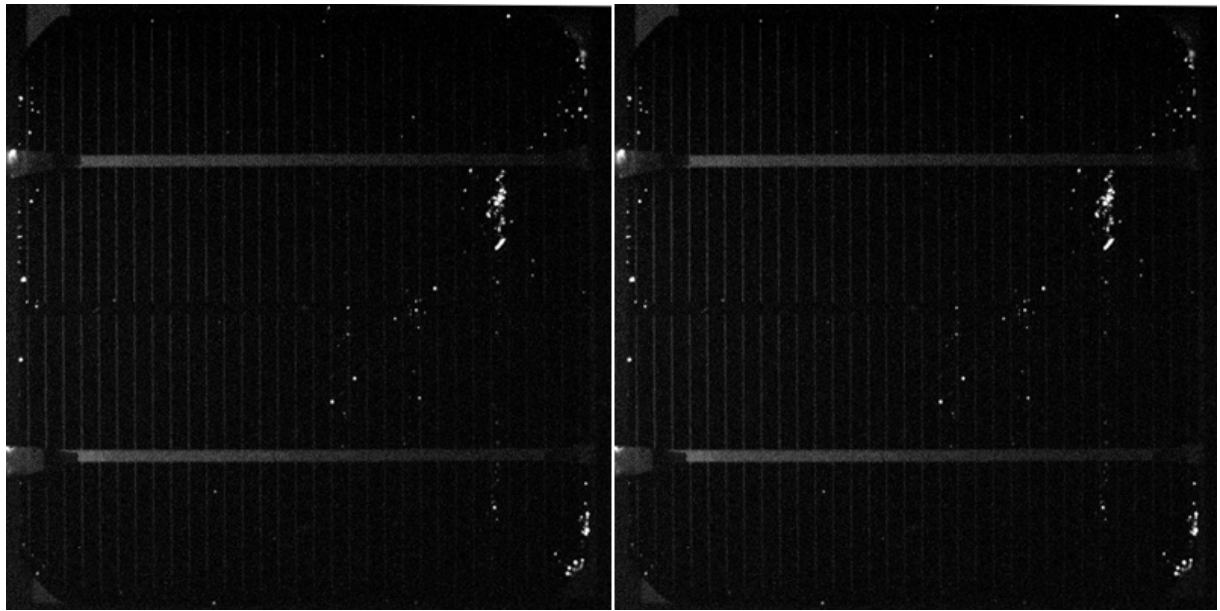


Obr. 1 - Solární článek třídy 12, metoda elektroluminiscence, $t = 20$ s, a) $I = 1$ A, b) $I = 2$ A

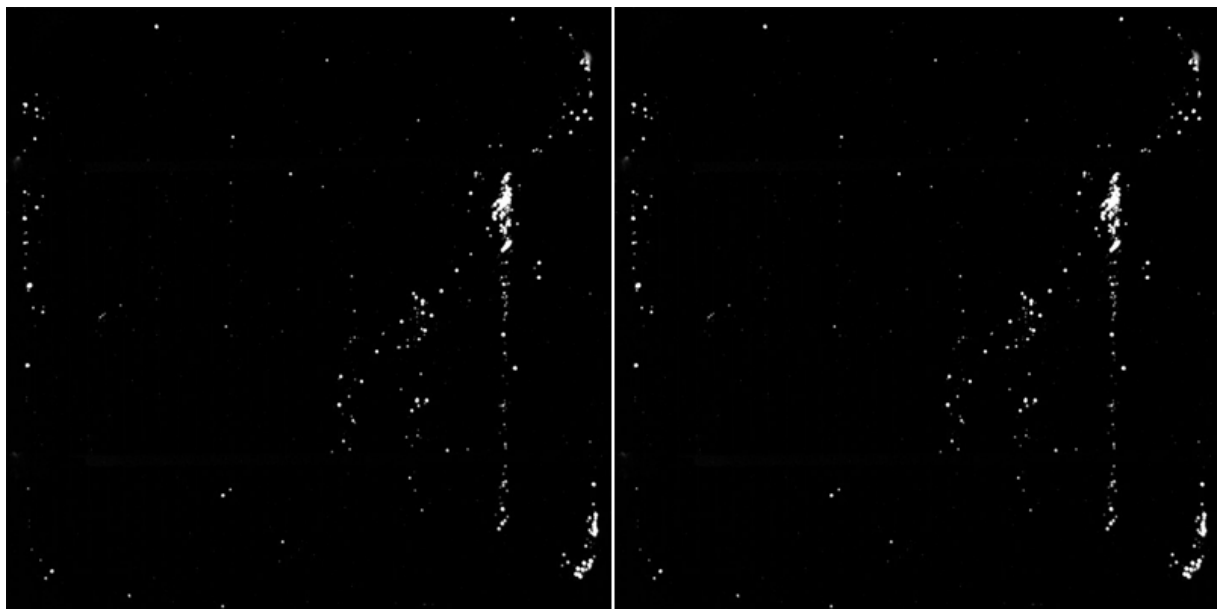


Obr. 2 - Solární článek třídy 12, metoda elektroluminiscence, $t = 20$ s, a) $I = 3$ A, b) $I = 3,5$ A

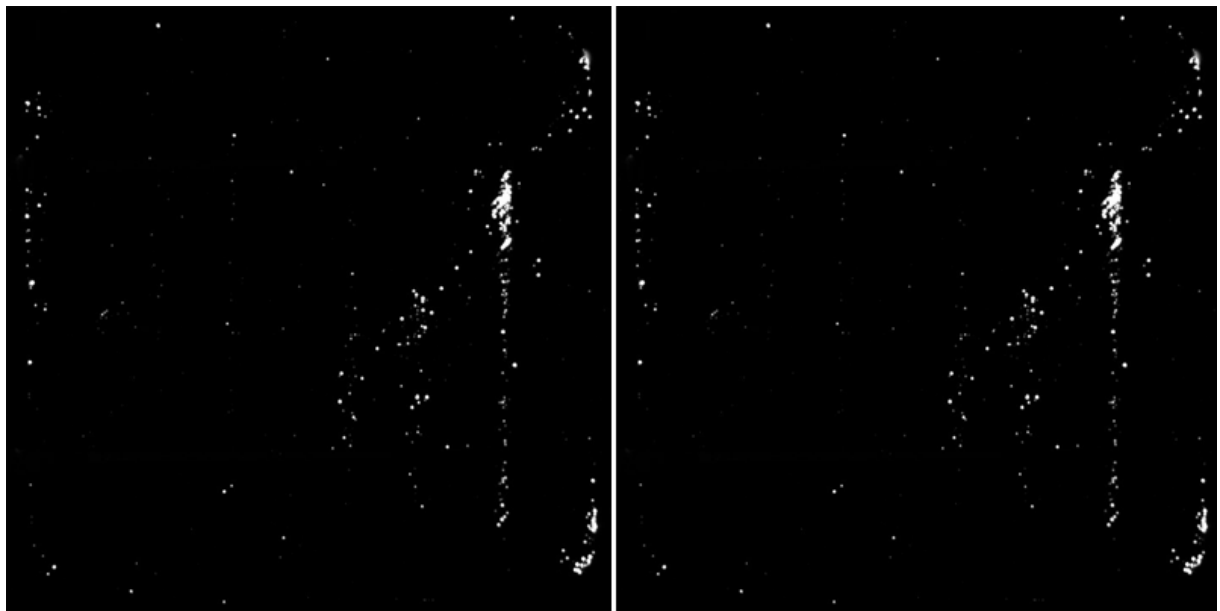
Metoda mikroplasmy:



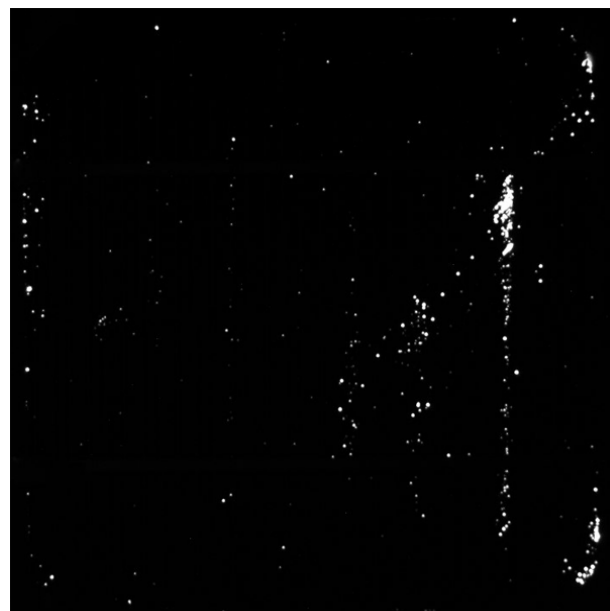
Obr. 3 - Solární článek třídy 12, metoda mikroplasmy, $t = 20$ s, a) $U = 4$ V, b) $U = 5$ V



Obr. 4 - Solární článek třídy 12, metoda mikroplasmy, $t = 20$ s, a) $U = 6$ V, b) $U = 7$ V



Obr. 5 - Solární článek třídy 12, metoda mikroplasmy, $t = 20$ s, a) $U = 8$ V, b) $U = 9$ V



Obr. 6 - Solární článek třídy 12, metoda mikroplasmy, $t = 20$ s, $U = 10$ V

Elektrické parametry:

Tab. 1: Naměřené hodnoty článek 12, metoda elektroluminiscence

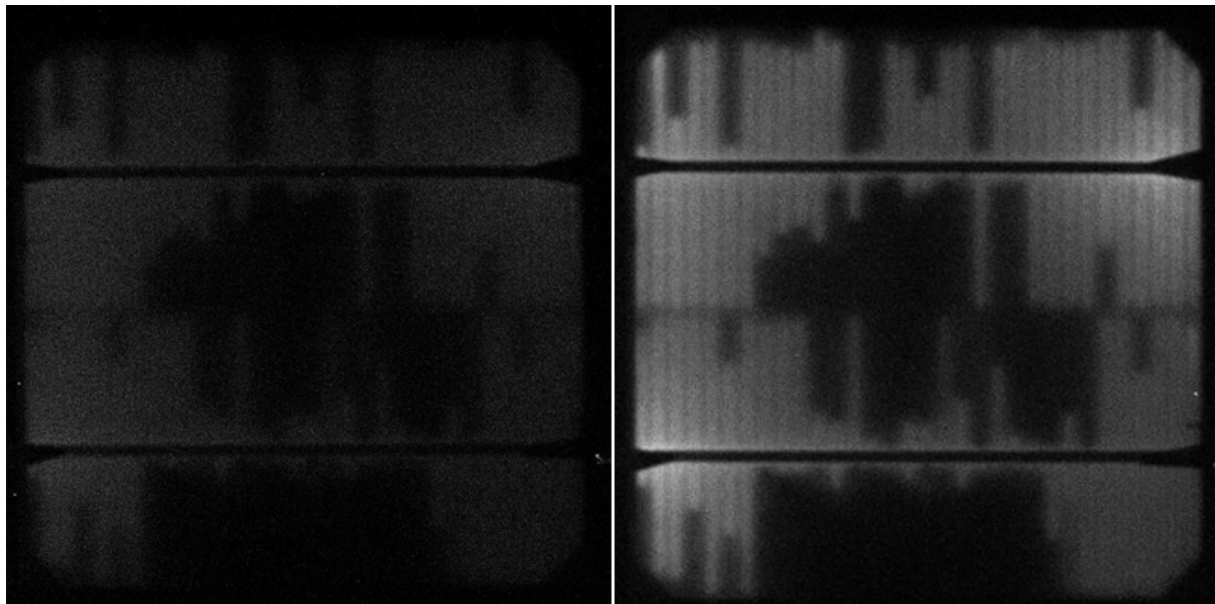
25°C			0°C		
U [V]	I [A]	P [W]	U [V]	I [A]	P [W]
0,8	1	0,8	0,8	1	0,8
1	2	2	1	2	2
1,2	3	3,6	1,2	3	3,6
1,3	3,5	4,55	1,3	3,5	4,55

Tab. 2: Naměřené hodnoty článek 12, metoda mikroplasmy

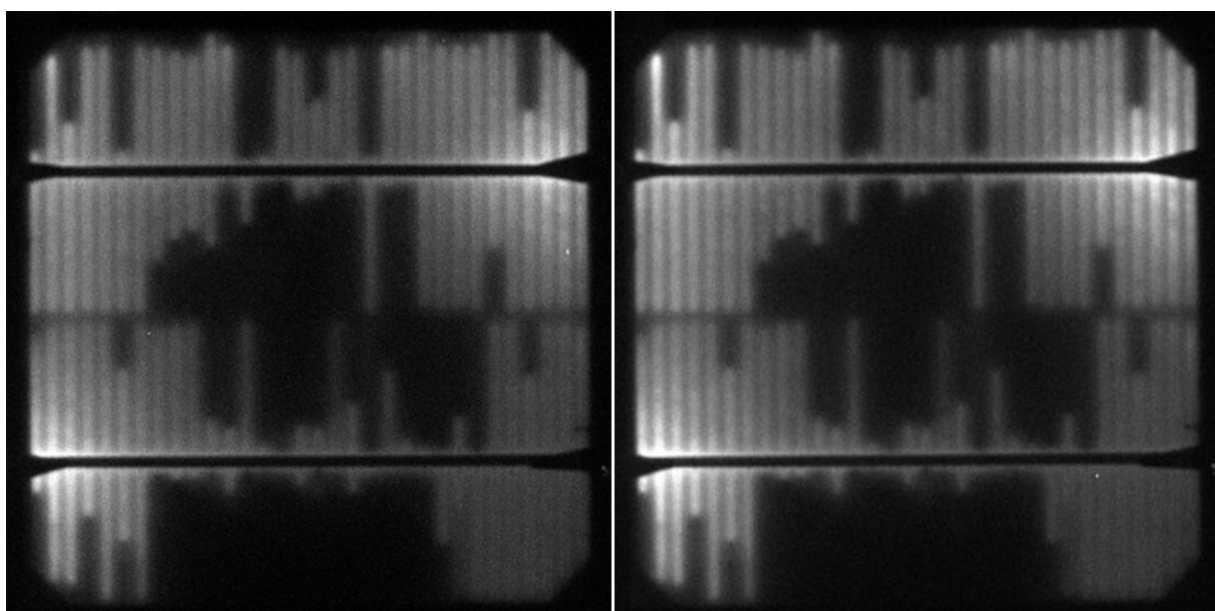
25°C			0°C		
U [V]	I [A]	P [W]	U [V]	I [A]	P [W]
4	0,05	0,2	4	0,06	0,24
5	0,07	0,35	5	0,06	0,3
6	0,11	0,66	6	0,12	0,72
7	0,14	0,98	7	0,17	1,19
8	0,18	1,44	8	0,21	1,68
9	0,22	1,98	9	0,26	2,34
10	0,26	2,6	10	0,31	3,1

Příloha 2 - solární článek třídy 25

Metoda elektroluminiscence:

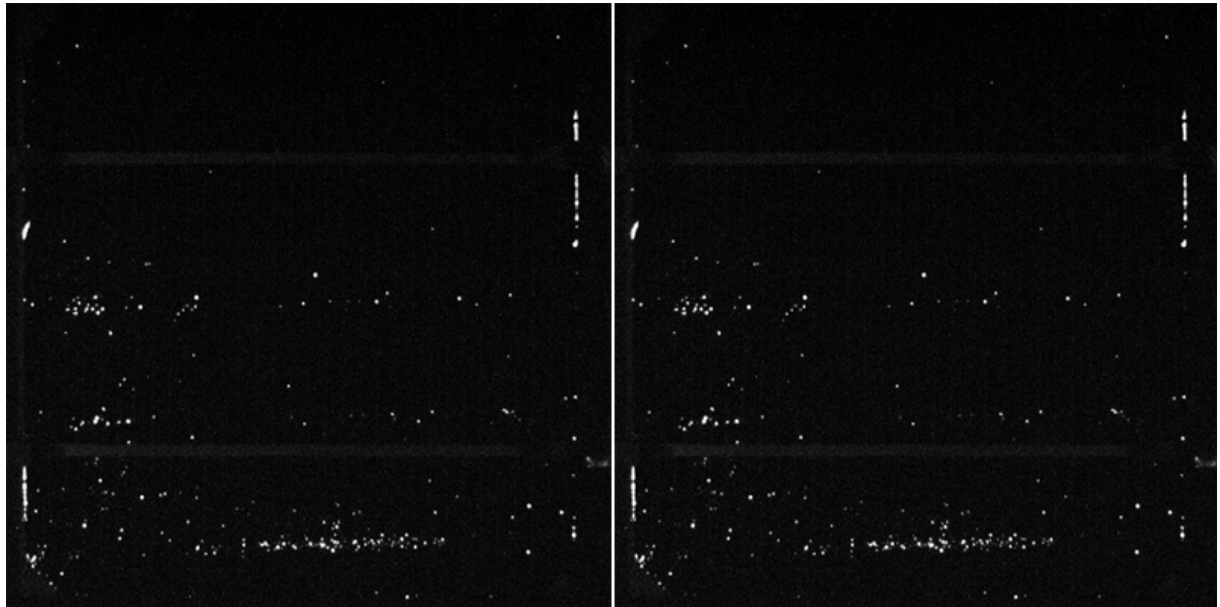


Obr. 7 - Solární článek třídy 25, metoda elektroluminiscence, $t = 20$ s, a) $I = 1$ A, b) $I = 2$ A

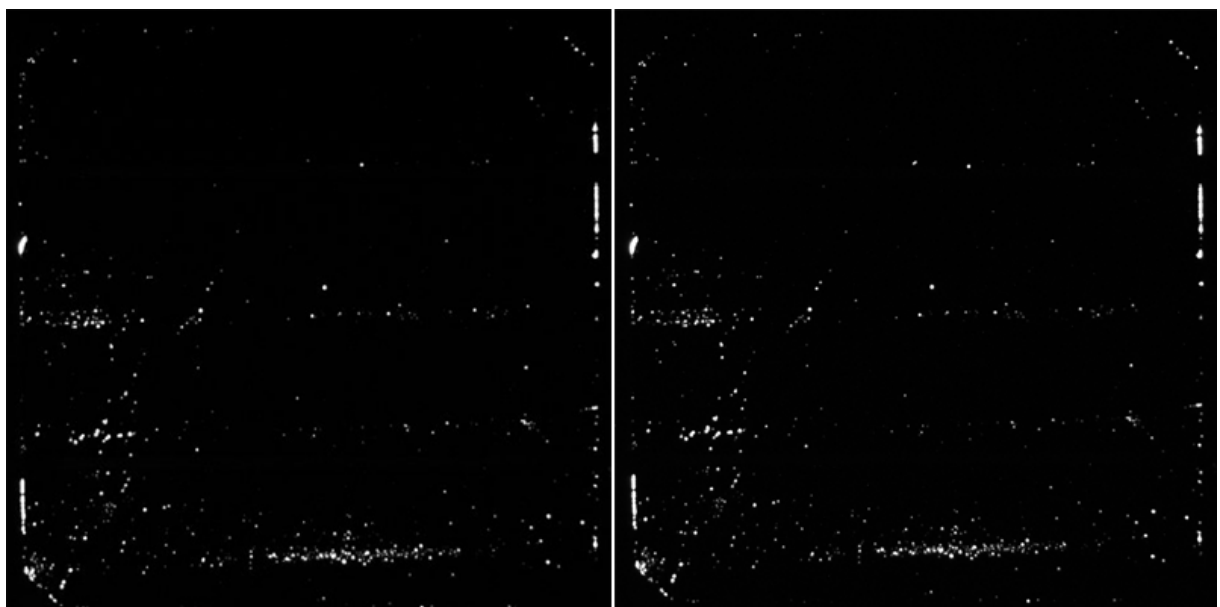


Obr. 8 - Solární článek třídy 25, metoda elektroluminiscence, $t = 20$ s, a) $I = 3$ A, b) $I = 3,5$ A

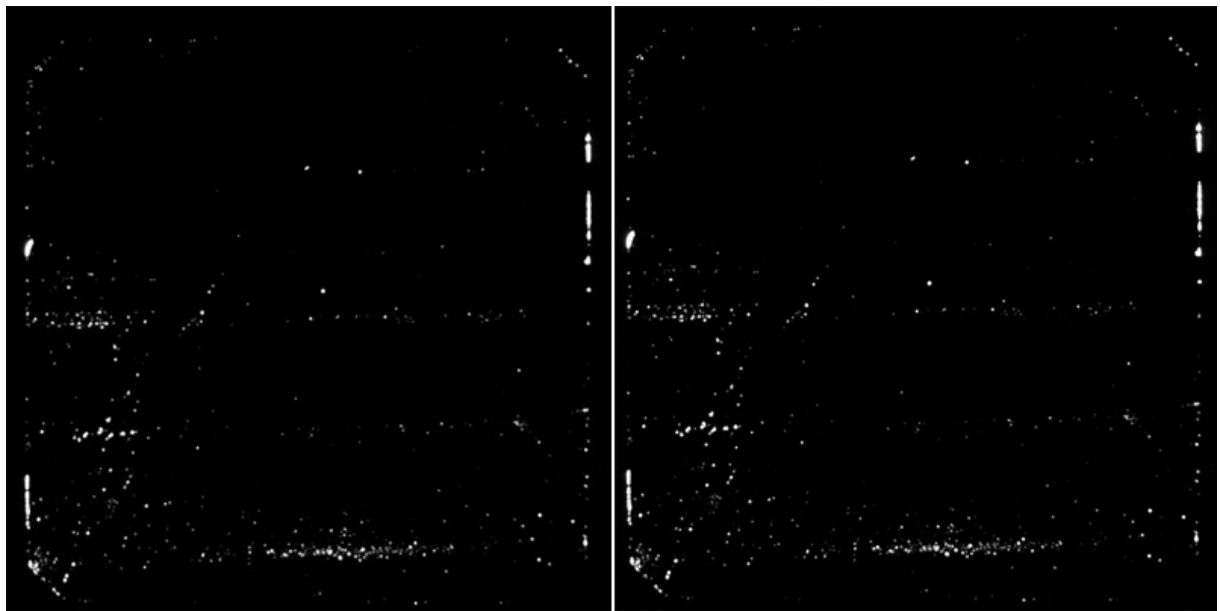
Metoda mikroplasmy:



Obr. 9 - Solární článek třídy 25, metoda mikroplasmy, $t = 20$ s, a) $U = 4$ V, b) $U = 5$ V



Obr. 10 - Solární článek třídy 25, metoda mikroplasmy, $t = 20$ s, a) $U = 6$ V, b) $U = 7$ V



Obr. 11 - Solární článek třídy 25, metoda mikroplasmy, $t = 20$ s, a) $U = 8$ V, b) $U = 9$ V

Elektrické parametry:

Tab. 3: Naměřené hodnoty článek 25, metoda elektroluminiscence

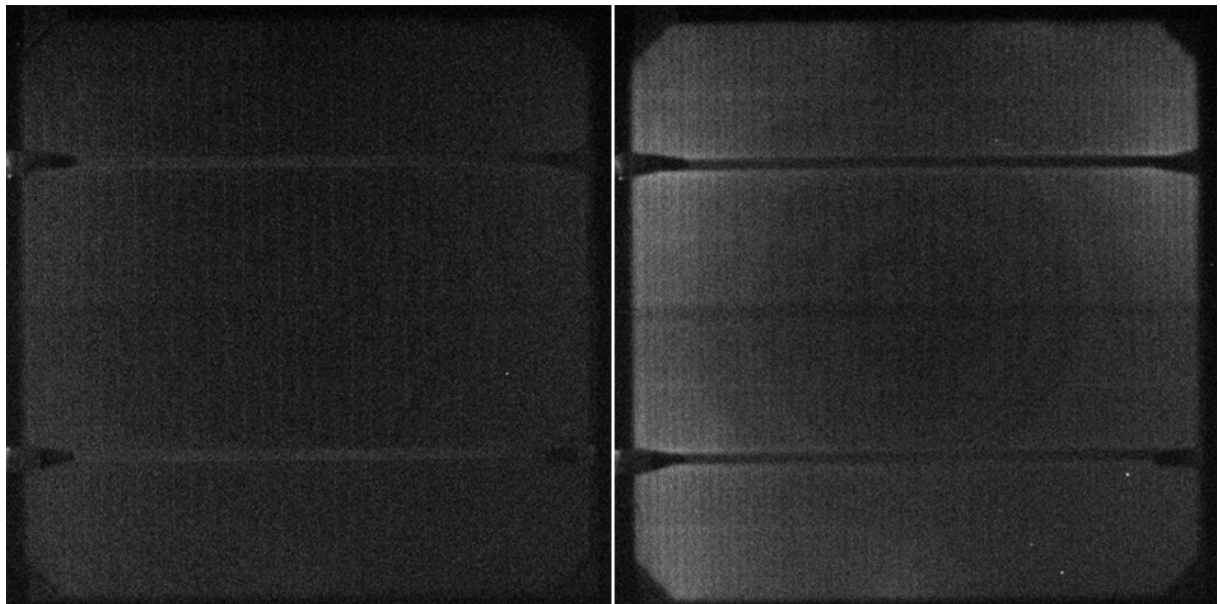
25°C			0°C		
U [V]	I [A]	P [W]	U [V]	I [A]	P [W]
0,7	1	0,7	0,8	1	0,8
0,9	2	1,8	1	2	2
1	3	3	1,1	3	3,3
1,1	3,5	3,85	1,2	3,5	4,2

Tab. 4: Naměřené hodnoty článek 25, metoda mikroplasmy

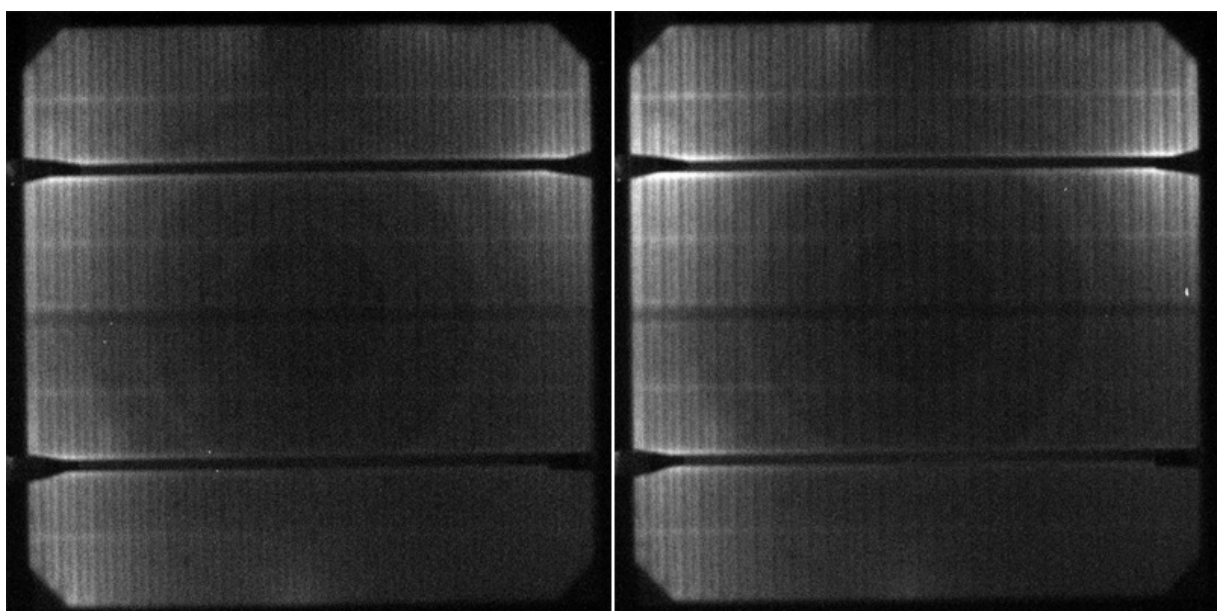
25°C			0°C		
U [V]	I [A]	P [W]	U [V]	I [A]	P [W]
4	0,15	0,6	4	0,25	1
5	0,2	1	5	0,26	1,3
6	0,29	1,74	6	0,32	1,92
7	0,41	2,87	7	0,45	3,15
8	0,6	4,8	8	0,63	5,04
9	0,83	7,47	9	0,84	7,56

Příloha 3 - solární článek třídy 28

Metoda elektroluminiscence:

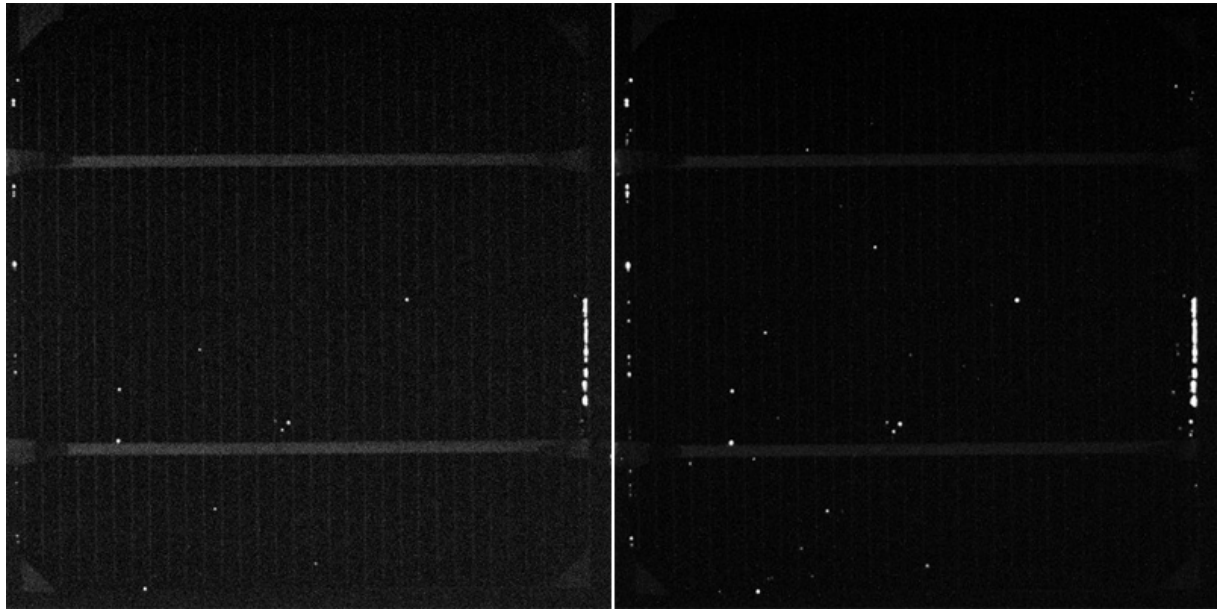


Obr. 12 - Solární článek třídy 28, metoda elektroluminiscence, $t = 20$ s, a) $I = 1$ A, b) $I = 2$ A

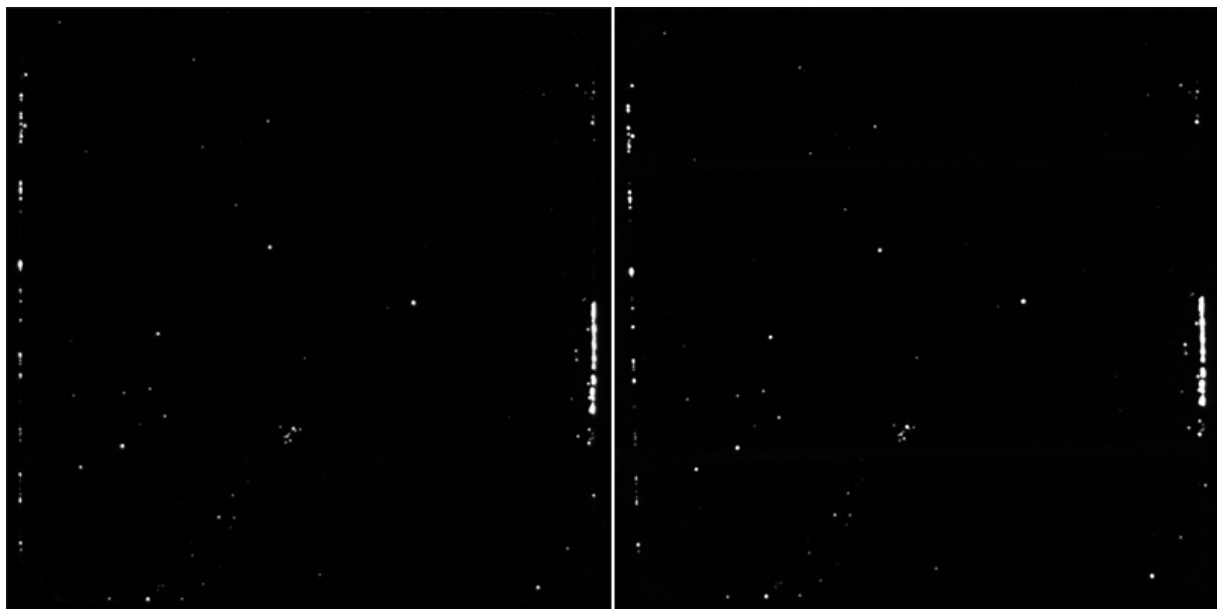


Obr. 13 - Solární článek třídy 28, metoda elektroluminiscence, $t = 20$ s, a) $I = 3$ A, b) $I = 3,5$ A

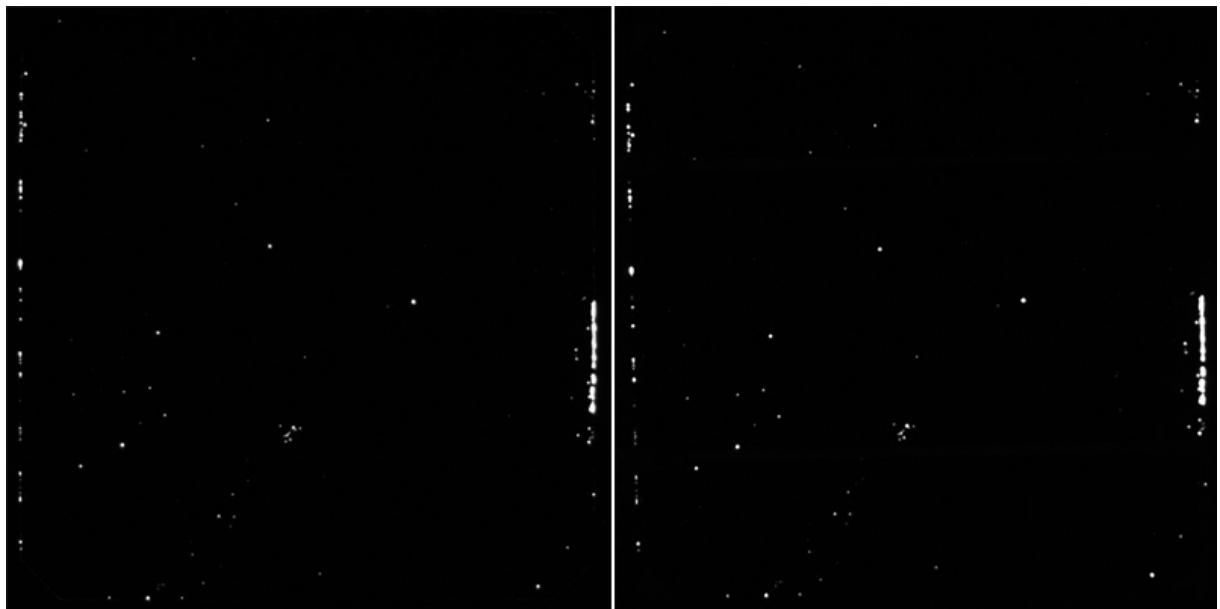
Metoda mikroplasmy:



Obr. 14 - Solární článek třídy 28, metoda mikroplasmy, $t = 20$ s, a) $U = 4$ V, b) $U = 5$ V



Obr. 15 - Solární článek třídy 28, metoda mikroplasmy, $t = 20$ s, a) $U = 6$ V, b) $U = 7$ V



Obr. 16 - Solární článek třídy 28, metoda mikroplasmy, $t = 20$ s, a) $U = 8$ V, b) $U = 9$ V



Obr. 17 - Solární článek třídy 28, metoda mikroplasmy, $t = 20$ s, $U = 10$ V

Elektrické parametry:

Tab. 5: Naměřené hodnoty článek 28, metoda elektroluminiscence

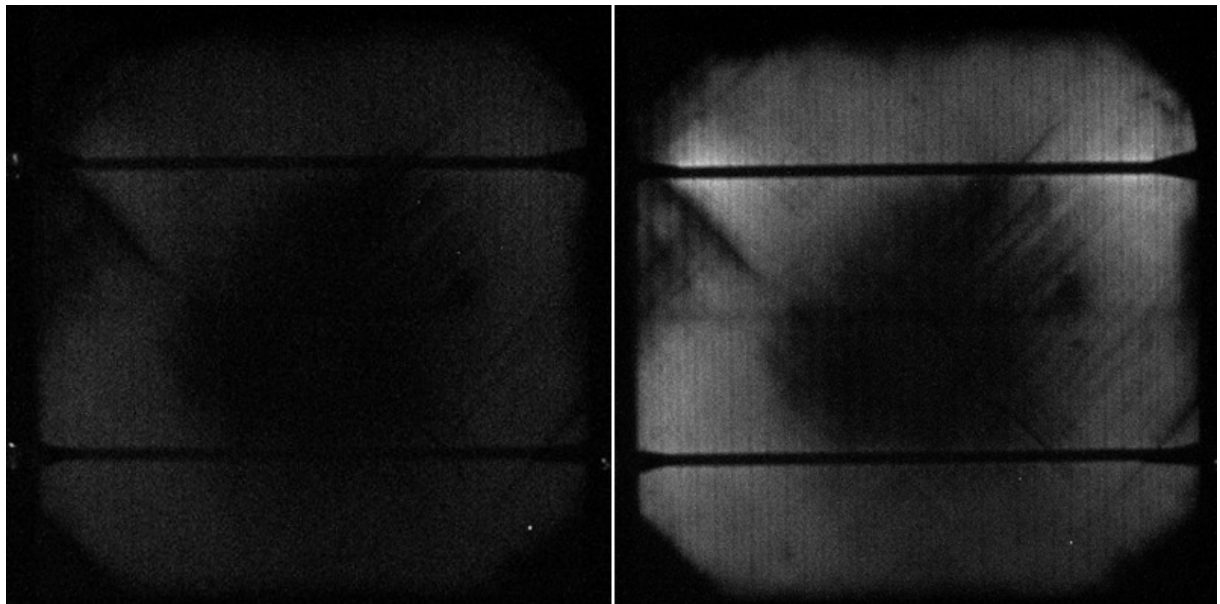
25°C			0°C		
U [V]	I [A]	P [W]	U [V]	I [A]	P [W]
0,7	1	0,7	0,7	1	0,7
0,9	2	1,8	0,9	2	1,8
1	3	3	1	3	3
1,1	3,5	3,85	1,1	3,5	3,85

Tab. 6: Naměřené hodnoty článek 28, metoda mikroplasmy

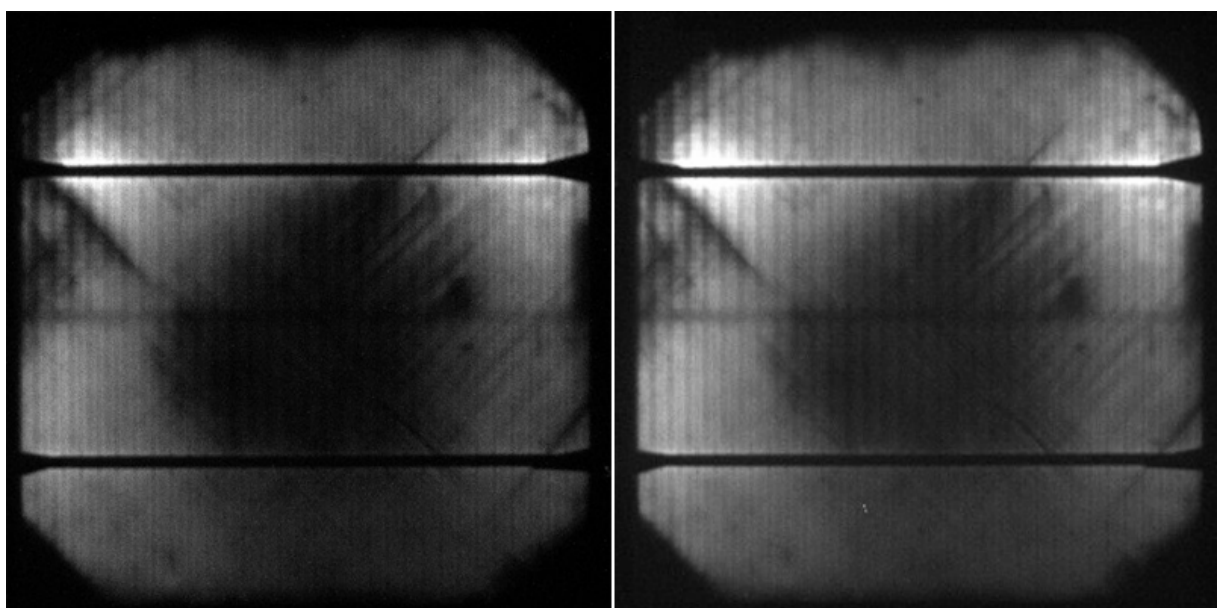
25°C			0°C		
U [V]	I [A]	P [W]	U [V]	I [A]	P [W]
4	0,06	0,24	4	0,13	0,52
5	0,08	0,4	5	0,12	0,6
6	0,11	0,66	6	0,13	0,78
7	0,14	0,98	7	0,16	1,12
8	0,19	1,52	8	0,2	1,6
9	0,25	2,25	9	0,26	2,34
10	0,34	3,4	10	0,34	3,4

Příloha 4 - solární článek s pnutím materiálu

Metoda elektroluminiscence:

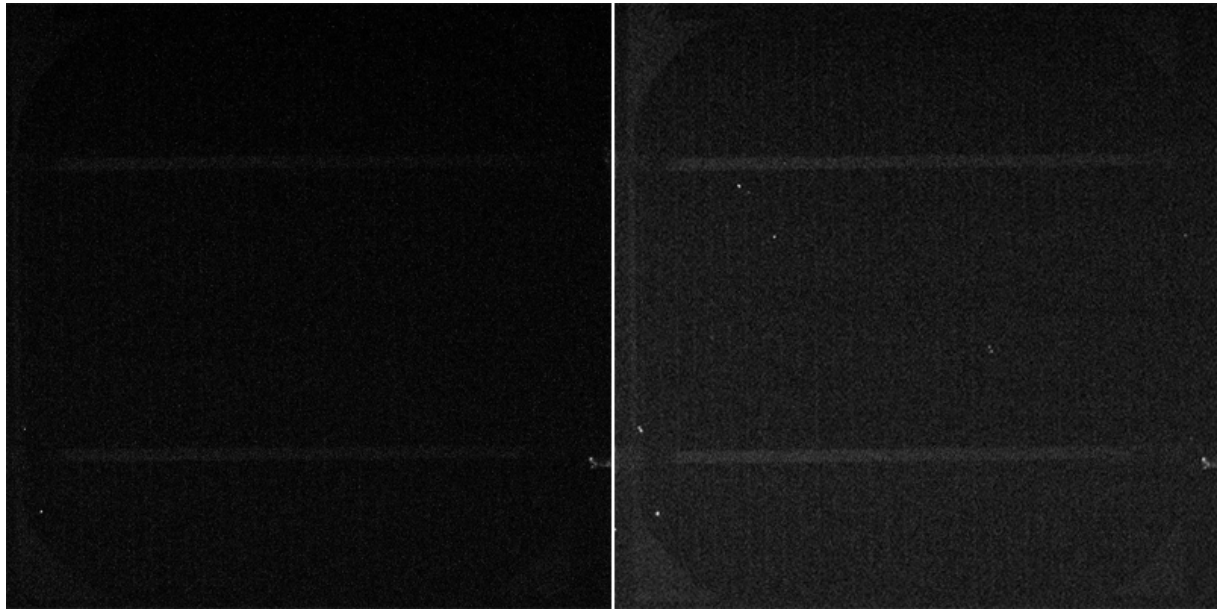


Obr. 18 - Solární článek s pnutím materiálu, metoda elektroluminiscence, $t = 20$ s, a) $I = 1$ A, b) $I = 2$ A

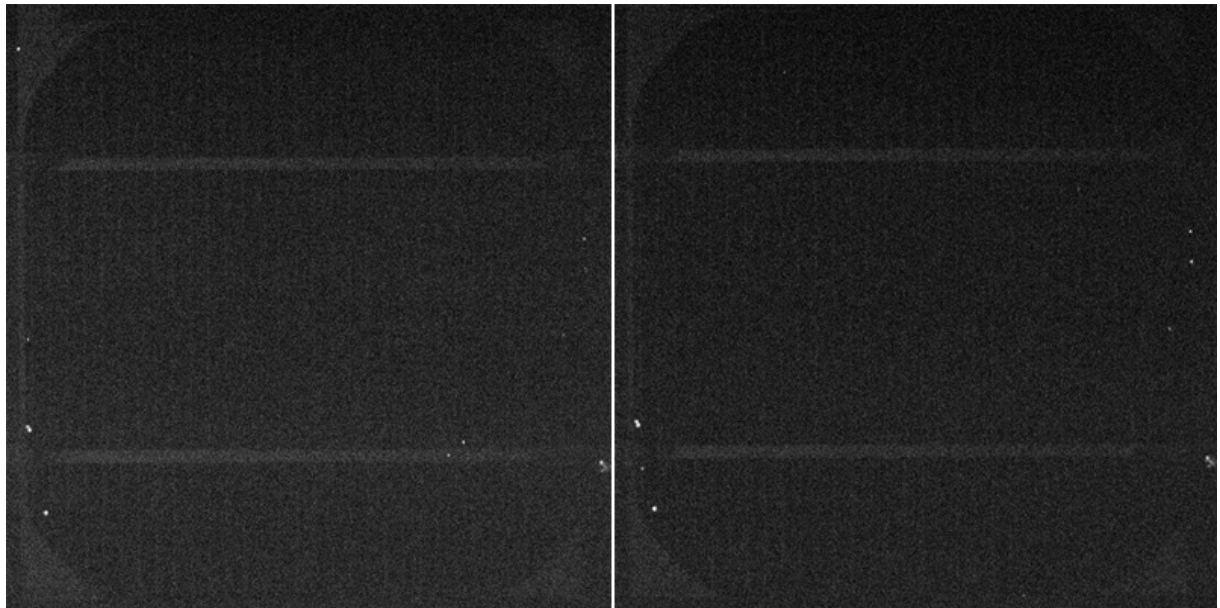


Obr. 19 - Solární článek s pnutím materiálu, metoda elektroluminiscence, $t = 20$ s, a) $I = 3$ A, b) $I = 3.5$ A

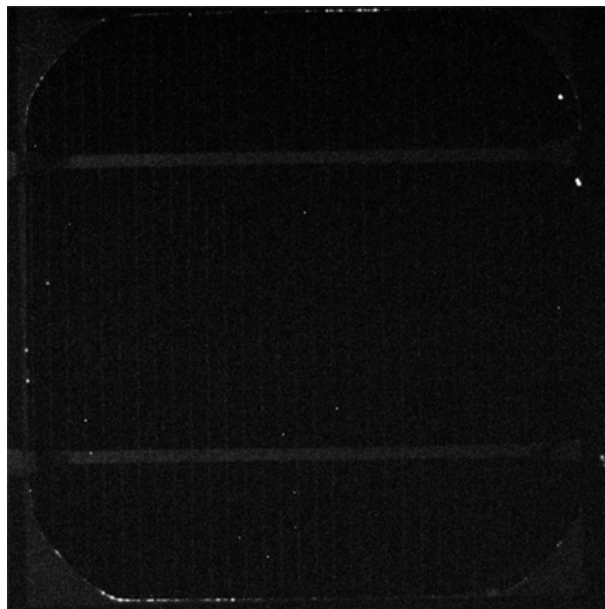
Metoda mikroplasmy:



Obr. 20 - Solární článek s pnutím materiálu, metoda mikroplasmy, t = 20 s, a) U = 4 V, b) U = 5 V



Obr. 21 - Solární článek s pnutím materiálu, metoda mikroplasmy, t = 20 s, a) U = 6 V, b) U = 7 V



Obr. 22 - Solární článek s pnutím materiálu, metoda mikroplasmy, t = 20 s, U = 8 V

Elektrické parametry:

Tab. 7: Naměřené hodnoty článek s pnutím materiálu, metoda elektroluminiscence

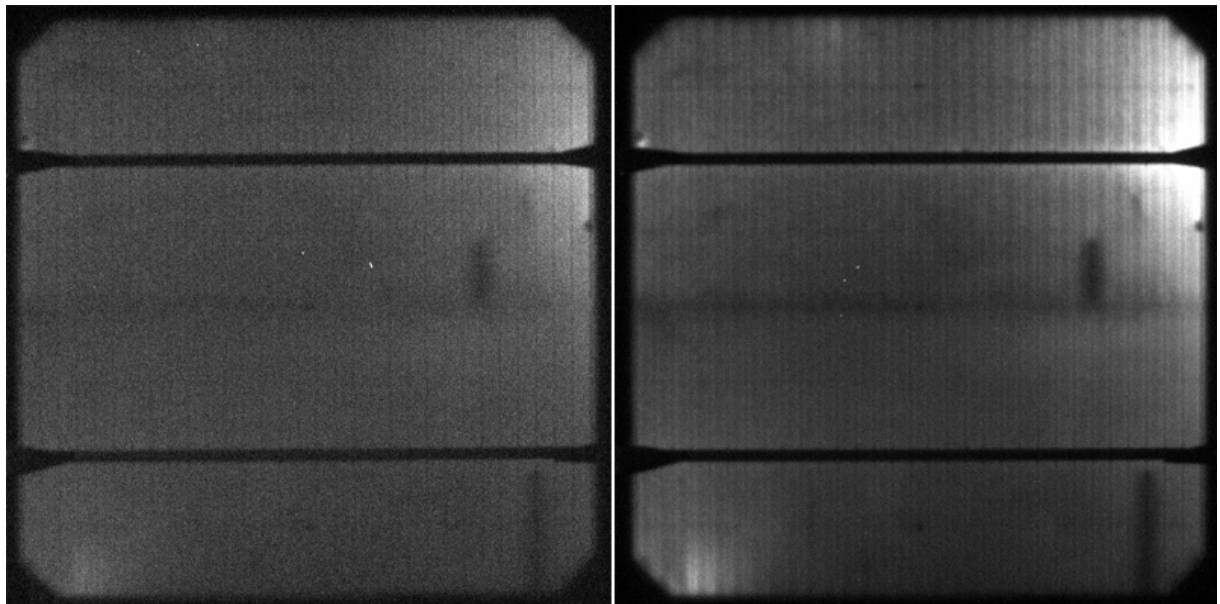
25°C			0°C		
U [V]	I [A]	P [W]	U [V]	I [A]	P [W]
0,7	1	0,7	0,8	1	0,8
0,9	2	1,8	0,9	2	1,8
1,1	3	3,3	1,1	3	3,3
1,2	3,5	4,2	1,2	3,5	4,2

Tab. 8: Naměřené hodnoty článek s pnutím materiálu, metoda mikroplasmy

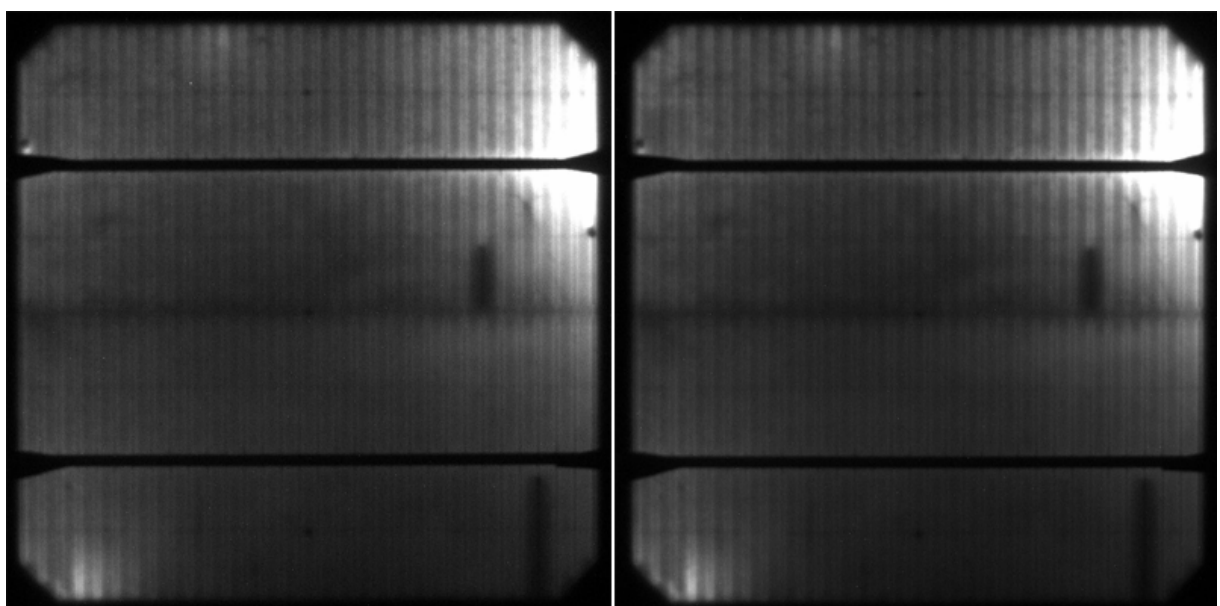
25°C			0°C		
U [V]	I [A]	P [W]	U [V]	I [A]	P [W]
4	0,51	2,04	4	0,71	2,84
5	0,65	3,25	5	0,8	4
6	0,74	4,44	6	0,88	5,28
7	0,84	5,88	7	0,91	6,37
8	0,92	7,36	8	0,96	7,68

Příloha 5 - solární článek třídy 33

Metoda elektroluminiscence:

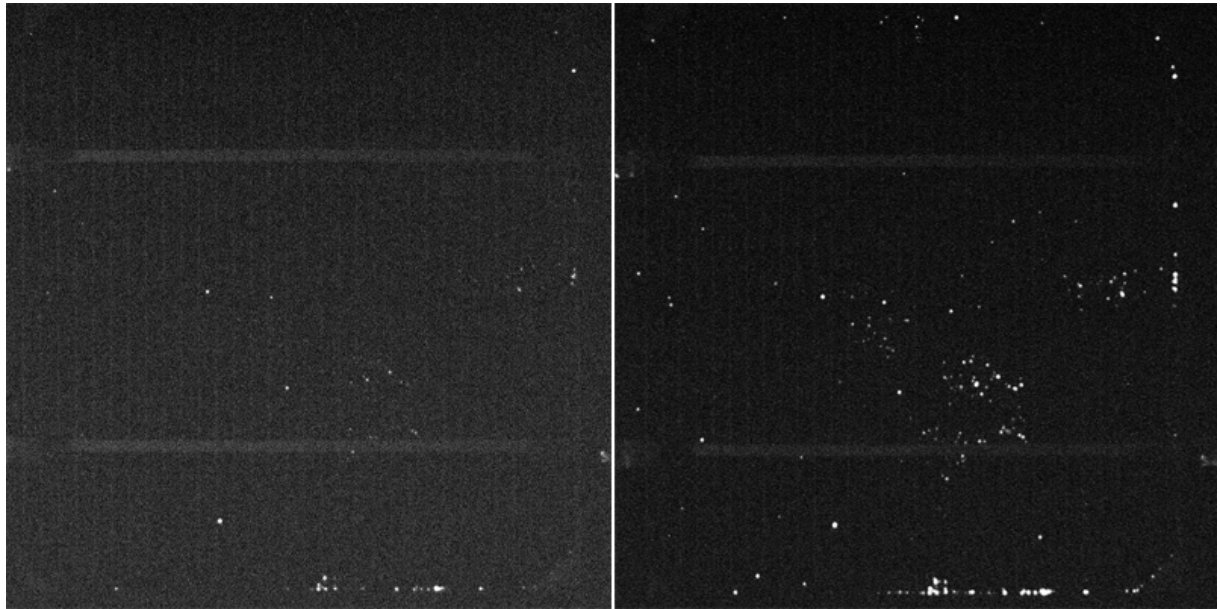


Obr. 23 - Solární článek třídy 33, metoda elektroluminiscence, $t = 20$ s, a) $I = 1$ A, b) $I = 2$ A

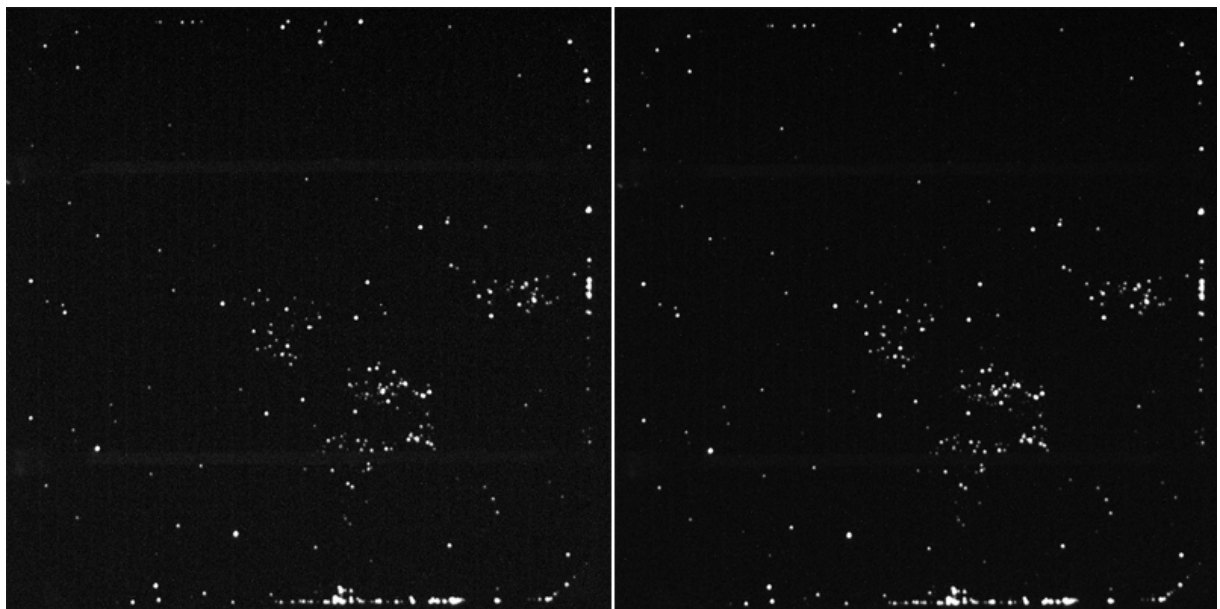


Obr. 24 - Solární článek třídy 33, metoda elektroluminiscence, $t = 20$ s, a) $I = 3$ A, b) $I = 3,5$ A

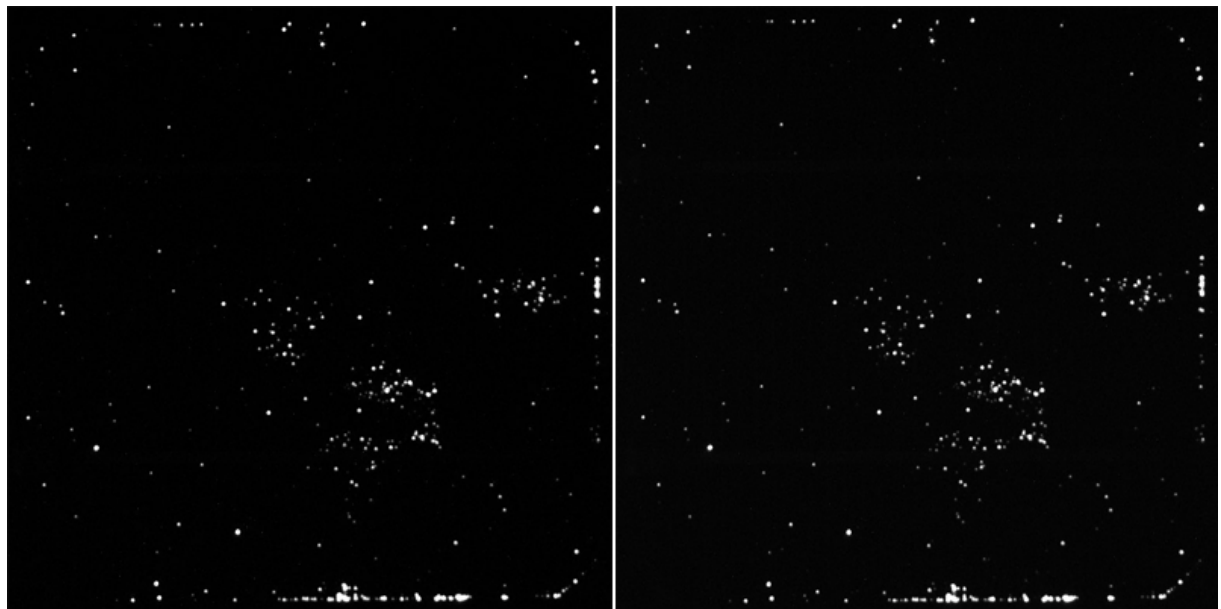
Metoda mikroplasmy:



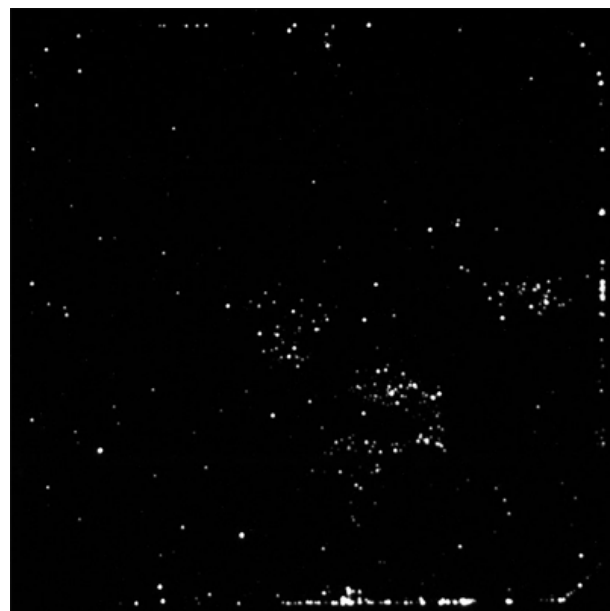
Obr. 25 - Solární článek třídy 33, metoda mikroplasmy, $t = 20$ s, a) $U = 4$ V, b) $U = 5$ V



Obr. 26 - Solární článek třídy 33, metoda mikroplasmy, $t = 20$ s, a) $U = 6$ V, b) $U = 7$ V



Obr. 27 - Solární článek třídy 33, metoda mikroplasmy, $t = 20$ s, a) $U = 8$ V, b) $U = 9$ V



Obr. 28 - Solární článek třídy 33, metoda mikroplasmy, $t = 20$ s, a) $U = 10$ V

Elektrické parametry:

Tab. 9: Naměřené hodnoty článek s pnutím materiálu, metoda elektroluminiscence

25°C			0°C		
U [V]	I [A]	P [W]	U [V]	I [A]	P [W]
0,7	1	0,7	0,7	1	0,7
0,9	2	1,8	0,9	2	1,8
1,1	3	3,3	1,1	3	3,3
1,2	3,5	4,2	1,2	3,5	4,2

Tab. 10: Naměřené hodnoty článek s pnutím materiálu, metoda mikroplasmy

25°C			0°C		
U [V]	I [A]	P [W]	U [V]	I [A]	P [W]
4	0,03	0,12	4	0,15	0,6
5	0,04	0,2	5	0,13	0,65
6	0,06	0,36	6	0,16	0,96
7	0,07	0,49	7	0,16	1,12
8	0,08	0,64	8	0,17	1,36
9	0,11	0,99	9	0,19	1,71
10	0,12	1,2	10	0,18	1,8